

# LHCb пентакварки Интерпретации

В.Петров

*Сессия ОФВЭ*

24 декабря 2015



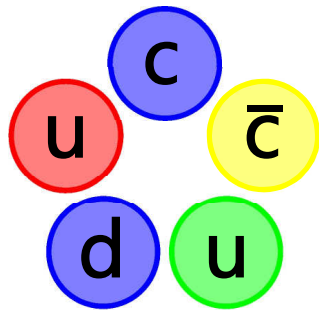
## Эксперимент

### 2 резонанса. Массы

$$M_1 = 4380 \pm 37 \text{ MeV}, \quad \Gamma = 205 \pm 104 \text{ MeV}$$

$$M_2 = 4450 \pm 5 \text{ MeV}, \quad \Gamma = 39 \pm 24 \text{ MeV}$$

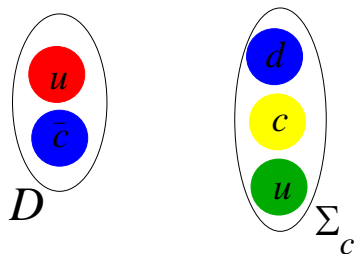
Спин-четность  $(\frac{3}{2}^-, \frac{5}{2}^+)$ , но может быть и  $(\frac{5}{2}^+, \frac{3}{2}^-)$ .



Атом или молекула: 2 тяжелых кварка — далеко или близко? Приближение Борна-Оппенгеймера — термос-кварков — потенциальная энергия легких кварков при прибитых гвоздями  $s$  и  $\bar{s}$

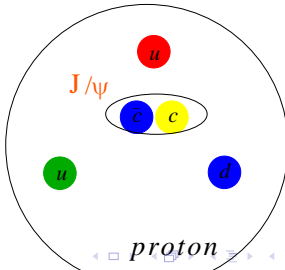


# Открытый или закрытый чарм?



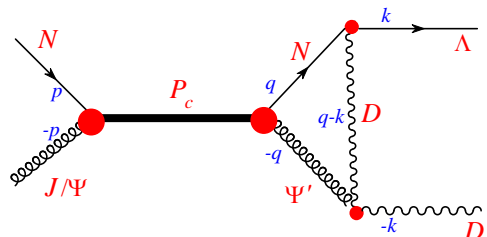
Молекула  $\Sigma_c$ -барион +  $D$ -мезон  
Расстояние между  $c\bar{c} \sim 1$  ферми

Атом (**hadrocharmonium**). В центре **чармониум** — "ядро" атома вокруг которого обращаются кварки протона. Расстояние между  $c\bar{c}$   $\sim$  размер **чармоная**



# Либо-либо. Связь каналов.

Каналы **слабо связаны**. Переход требует обмена **тяжелым**  $D$ -мезоном в  $t$ -канале. Конституенты должны сойтись на расстояние  $1/m_c$ .



Ширина распада

$$\Gamma = \frac{g_{\psi' DD}^2 g_{\Lambda p D}^2}{4\pi} \frac{M_N}{M_{P_c} M_D} \frac{|\Psi(0)|^2 |k|}{M_D^2 - (M_N - M_\Lambda)^2} \frac{(k^2)^2}{3M_\Lambda^2}$$

Хотя константы неизвестны, ширина вряд ли превышает **сотню кэВ**

**Branching** дает ответ об **устройстве**



## 2 состояния. Невозможность вращения

2 состояния  $\frac{3}{2}^-$  и  $\frac{5}{2}^+$  намекают на то, что это — **вращательное состояние** другого —  $L = 0$  и  $L = 1$  (четности как раз противоположны).

Однако, вращательная энергия оказывается слишком **велика**!

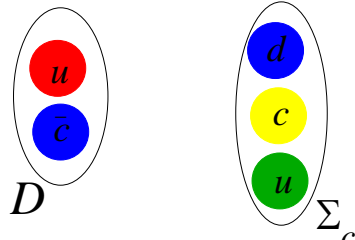
$$\left\langle \left\langle \frac{L(L+1)}{2Mr^2} \right\rangle \right\rangle \geq 200 \text{ MeV}$$

а не 70 Mev.

Можно делать на **сверхтонком расщеплении**. Нужный порядок, но четность **не меняется**!

# Молекула

Молекула — слабо связанное состояние **D-мезона** и  **$\Sigma_c$ -бариона**. Кандидаты:



D-мезоны: **u****c** или **d****c**

$D_c$ :  $0^-$ ,  $I = 1/2$ ,  $M = 1865$  MeV

$D_c^*$ :  $1^-$ ,  $I = 1/2$ ,  $M = 2008$  MeV

Барионы: **udc** или **uuc**

$\Lambda_c$ :  $\frac{1}{2}^+$ ,  $I = 0$ ,  $M = 2286$  MeV

$\Sigma_c$ :  $\frac{1}{2}^+$ ,  $I = 1$ ,  $M = 2453$  MeV

$\Sigma_c^*$ :  $\frac{3}{2}^+$ ,  $I = 1$ ,  $M = 2517$  MeV

Гипотеза, (R.Chen,X.Liu,X.Li,S.Zhu, 1507.0370 )

Легкий:  $\Sigma + D^*$ ,  $\varepsilon_{bound} = -81$  Mev

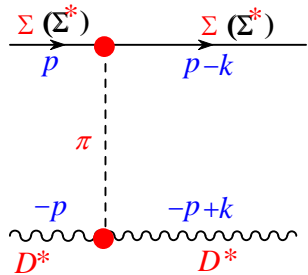
Тяжелый:  $\Sigma^* + D^*$ ,  $\varepsilon_{bound} = -75$  Mev

Возможны  $I = 1/2, 3/2$

# Молекула

**Идея** Связывается за счет однопионного обмена

**Coupling constants**



$$g_{D^* D^* \pi} = 0.59$$

$$g_{D^* D^* \pi} = 0.94$$

фиксируются по *heavy quark symmetry* из распадов

1-pion в киральном пределе  $1/r^3$  — падает.

$$Y = \int d^3 q e^{-i\vec{q}\cdot\vec{r}} \frac{1}{q^2 + m_\pi^2} \frac{\Lambda^2}{q^2 + \Lambda^2}$$

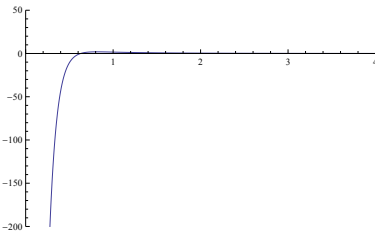
Потенциал  $V = \nabla^2 Y$ . Формфактор.

$\Lambda = 2.35 \text{ Gev (!)}$  ( $\Sigma D^*$ ),  $\Lambda = 1.77 \text{ Gev (!)}$  ( $\Sigma^* D^*$ )



# Патология

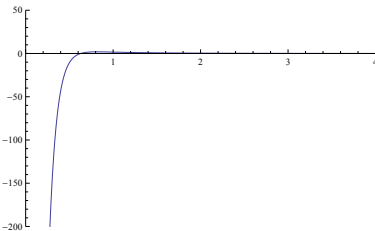
- Предсказаний - нет. Только лишь **фит  $\Lambda$** . Они неправдоподобно большие — правильно  $\Lambda \leq 1 \text{ GeV}$ .
- В  $s$ -состоянии **средний** потенциал =0 в киральном пределе. Вклад  $\sim m_q$ .



**1pion exchange** = яма глубиной **2.5 MeV** на расстоянии 1-2 fm и мощный **кор** на 0.1 фм высотой 1 GeV. Ничего нельзя связать....

# Патология

- Предсказаний - нет. Только лишь **фит  $\Lambda$** . Они неправдоподобно большие — правильно  $\Lambda \leq 1$  GeV.
- В  $s$ -состоянии **средний** потенциал =0 в киральном пределе. Вклад  $\sim m_q$ .



**1pion exchange** = яма глубиной **2.5 MeV** на расстоянии 1-2 fm и мощный **кор** на 0.1 фм высотой 1 GeV. Ничего нельзя связать....

- Канал — **отталкивание** и свяжем на **коре!!!** Радиус потенциала = **0.07 fm**, глубина = **700 -1000 MeV**
- Радиус связанного состояния = **0.3 fm**

# НЕПатология

Задача из **ядерной физики** — нужен центральный потенциал.

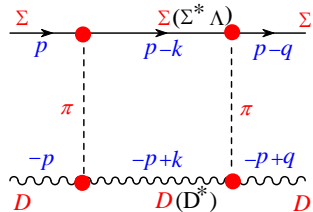


Диаграмма расходится.  
Нужна многоканальная задача — все комбинации  $\Sigma_c, \Sigma_c^*, \Lambda_c$  и  $D, D^*$ .  
 $\varepsilon \approx 70 - 80$  MeV => ядерной физике.

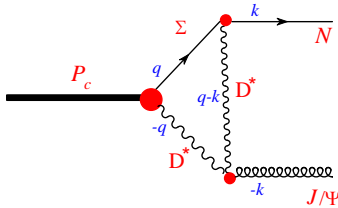
- Состояния с  $I = 1/2$  и с  $I = 3/2$  — **почти вырождены**
- Состояния с  $S = 5/2$  должно иметь **четность** как  $S = 3/2$ , так как  $L = 0$ .
- Скорее всего есть связанные состояния **всех** комбинаций!!! Где они?



# Молекула

- Главная проблема:**

Парциальная ширина распада на  $J/\Psi + p$  — **мала**  
( $\sim |\Psi(0)|^2$ )



Обмен **тяжелым**  $D^*$ -мезоном в  
 $t$ -канале

$$\Gamma_{P_c \rightarrow J/\psi N} = \frac{g_{\Sigma D^* N}^2 g_{J/\psi D^* D^*}^2}{4\pi} \frac{M_\Sigma}{M_{P_c} M_{J/\psi}} \frac{|k| |\Psi(0)|^2}{[M_{D^*}^2 - (M_\Sigma - M_N)^2]^2} |\Xi|^2$$

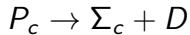
Это в лучшем случае сотня keV! Хотя это — **парциальная ширина**, спрашивается, как же пентакварк наблюдают?



# Молекула

$$|\Xi|^2 = \left[ \frac{2M_{D^*}}{M_\Sigma + M_{D^*}} (V(0) - \varepsilon) \right]^2 + \frac{4}{3} \left[ \frac{2M_{D^*}}{M_\Sigma + M_{D^*}} (V(0) - \varepsilon) \right] \frac{k^2}{M_N} + \frac{k^4}{M_N^2}$$

Не все понятно и с **полной шириной**, которая определяется распадами



# Проблема 2x состояний

- Почему более тяжелое состояние уже?
- **Измеренные** спин-четность  $\frac{3}{2}^-$ ,  $\frac{5}{2}^+$  намекают на **вращательное возбуждение**  $L = 0, 1$ . Можно оценить среднее расстояние в молекуле, чтобы центробежная энергия имела бы нужный порядок

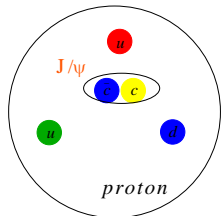
$$\frac{L(L+1)}{2\mu r^2} \approx 70 \text{ MeV} \quad \longrightarrow \quad \bar{r} = 0.71 \text{ fm}$$

что не является диким. Если  $\Sigma^* D^*$  потенциал имеет глубину  $\approx 200$  MeV, то возможно интерпретировать пентакварки как  $L = 0, 1$  состояния  $\Sigma^* D^*$ . Но

- ① Куда девать связанное состояние  $\Sigma D^*$
- ② Можно по-другому сложить спины, есть другие состояния
- Сверхтонкое vs вращательное — это **четность**

# Hadrocharmonium (Polyakov+Eides+V.P.)

Кто на что распадается, тот из того и состоит!

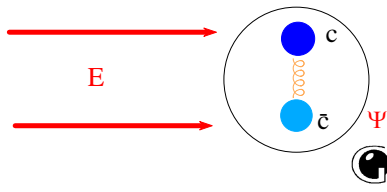


Чармониум — есть **слабо** взаимодействующее состояние **малого размера**, сидит **в центре протона** и вокруг **легкие кварки**

Взаимодействие чармония происходит посредством  
**2-глюонного обмена** (*Волошин и др.*).

Энергия в однородном, медленно  
меняющемся **цветном** поле

$$V = \frac{1}{2} \alpha E^a \cdot E^a$$



# Hadrocharmonium

$\alpha$  — хромоэлектрическая поляризуемость чармоная. Источник цветного поля — поля **внутри протона**.

Размер протона » размер  $\Psi$ .

Имеем

$$E_{ia}^2 = \frac{1}{2}(E^2 + H^2) + \frac{1}{2}(E^2 - H^2) = g^2 \Theta_{00} + G_{\mu\nu}^2$$

$\Theta$  — плотность тензора энергии-импульса. **Конформная аномалия**

$$\Theta_\mu^\mu \sim b G_{\mu\nu}^2$$

$b$  — Gell-Mann-Low coefficient

$$b = \frac{11}{3} N_c - \frac{2}{3} N_f$$

# Hadrocharmonium

Effective потенциал

$$V(x) = \frac{1}{2} \mathbf{g}_\psi^2 \alpha \left[ \Theta_{00}^{(G)}(\tilde{x}) + \frac{8\pi^2}{bg_s^2} \Theta_\mu^\mu(\tilde{x}) \right]$$

$c\bar{c}$  — пробник плотности тензора энергии-импульса в протоне.

$\Theta_{00}^{(G)}$  — только глюонная часть

$\Theta : \mu_\mu$  — вся энергия (киральный предел)

Константы связи:  $\mathbf{g}_\psi^2$  — на размере  $\psi$

$g_s^2$  — на размере протона или там где она замораживается. В инстанционном вакууме ( $SU(3)$ )

$$\beta = \frac{8\pi^2}{g_s^2} \approx 11 - 12$$

Модель  $\Theta_0^G \approx \zeta \Theta_{00}$ , где  $\zeta \approx 0.4$  — доля глюонов в протоне.

# Потенциал взаимодействия $\Psi$ и протона

В другой форме

$$V(\vec{x}) = -\frac{4\pi^2}{b}\alpha \left( \varepsilon(\tilde{\mathbf{x}}) \left[ 1 + \xi \frac{bg_s^2}{8\pi^2} \right] - 3\mathbf{p}(\tilde{\mathbf{x}}) \right),$$

$\varepsilon(\vec{x})$  — плотность энергии в протоне,  $\mathbf{p}(\vec{x})$  — давление.

Известна **нормировка** потенциала

$$\int d^3x \varepsilon(\tilde{\mathbf{x}}) = M_N, \quad \int d^3x \mathbf{p}(\tilde{\mathbf{x}}) = 0$$

(условие стабильности протона.

$$\int d^3x V(\vec{x}) = -\alpha \frac{4\pi^2}{b} M_N \left[ 1 + \xi \frac{bg_s^2}{8\pi^2} \right]$$

# Потенциал взаимодействия $\Psi$ и протона

$$\int d^3x V(\vec{x}) = -\alpha \frac{4\pi^2}{b} \nu \mathcal{M}_N$$

где

$$\nu = 1 + \xi \frac{bg_s^2}{8\pi^2} \approx 1.5$$

используя инстантоны и долю глюонов.

Потенциал имеет универсальную **асимптотику больших расстояний**

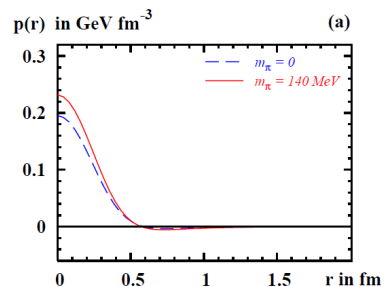
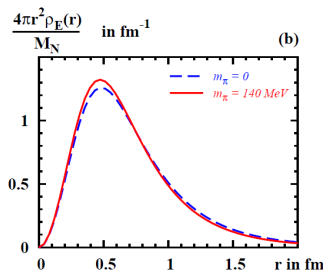
$$V(r) = -\nu \alpha \frac{12\pi^2}{b} \left( \frac{3g_{\pi NN}}{8\pi \mathcal{M}_N} \right)^2 \frac{1}{r^6}$$

(киральный предел, взаимодействие пиона с двумя глюонами)



# Потенциал взаимодействия $\Psi$ и протона

На **всех** расстояниях можно вычислить в  $\chi$ QSM (М.Поляков)



Осталось узнать масштаб потенциала — вычислить хромоэлектрическую поляризуемость Нужна **теория** чармония.

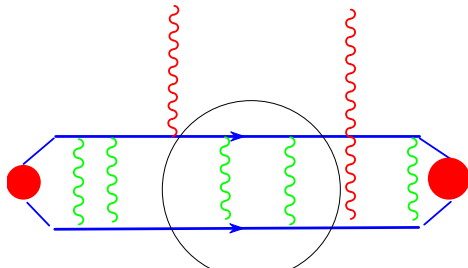
# Поляризуемость

IF кулоновская нерелятивистская система с потенциалом

$$U(r) = -\frac{4}{3} \frac{g^2}{r}$$

Поляризуемость была вычислена Лескиным в 1976 в пределе  $N_c \rightarrow \infty$ , ответ не такой как в КЭД.

$$\alpha = \frac{g_\psi^2}{3N_c} \langle nS | r \frac{1}{H_a + \epsilon} r | nS \rangle$$



Промежуточное состояние — октетное. Взаимодействие  $s$  и  $\bar{s}$  подавлено по  $N_c$ ! Заменяем на свободные.

# Поляризуемость

Получаем

$$\alpha(1S) = \frac{28\pi}{27g_s^2} a_0^3, \quad \alpha(2S) = \frac{2008\pi}{27g_s^2} a_0^3$$

и переходная

$$\alpha(2S \rightarrow 1S) = \frac{51200\sqrt{2}\pi}{19683g_s^2} a_0^3.$$

Растет как  $n^6$  или  $R^3$ .

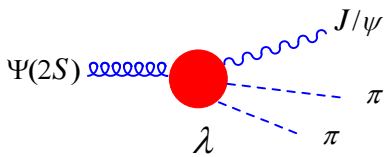
Полная теория строится как комбинация кулоновского и **линейного** потенциала. Несмотря на 20 лет находится в плачевном состоянии... (3 петли, релятивизм — половина и т.д.).

Эксперимент???

# Распад $\Psi(2S) \rightarrow J/\psi + 2\pi$

Этот распад вычислил Волошин (и поправил Шифман).  
Вершина взаимодействия

$$\mathcal{L}_{\text{eff}} = \lambda V_\mu^{(J/\psi)} V_\nu^{(\psi(2S))} \partial_\mu \pi^a \partial_\nu \pi^a$$



Чтобы вычислить  $\lambda$  усредним тензор  $\Theta$  по 2м  $\pi$ -мезонам

$$\langle \pi(k_1) \pi(k_2) | \Theta_{\mu\nu}(k_1+k_2) | 0 \rangle$$

$$= 2k_{1\mu} k_{2\nu}$$

(киральный предел)

# Распад $\Psi(2S) \rightarrow J/\psi + 2\pi$

находим  $\lambda$ , сравнивая с Лагранжианом

$$\lambda = \alpha(M_{J/\psi} + M_{\psi'}) \nu \frac{8\pi^2}{bg^2}$$

Вычисляем ширину распада, находим  $\alpha(2S \rightarrow 1S)$

$$\nu\alpha(2S \rightarrow 1S) \approx 2 \text{Gev}^{-3}$$

По кулоновским формулам получаем

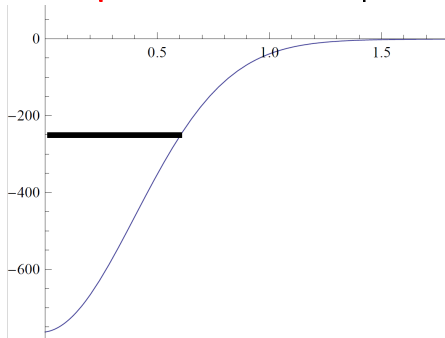
$$\alpha(1S) = .16 \text{Gev}^{-3} \quad \alpha(2S) = 11.6 \text{Gev}^{-3}$$

и **переходную  $\alpha$**

$$\alpha(2S \rightarrow 1S) = -0.65 \text{Gev}^{-3}$$

# Потенциал $J/\psi$ и протона

Эксперимент почти в 2 раза больше Кулона

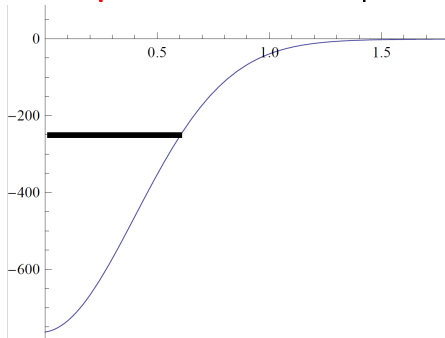


Потенциал взаимодействия  
 $J/\Psi$  и протона в  $\chi QSM$   
 $r$  в ферми  
 $U(r)$  в Мэв

$$\alpha(1S) = 17.5, \quad \alpha_{Coulomb} = 11.6$$

# Потенциал $J/\psi$ и протона

Эксперимент почти в 2 раза больше Кулона



Потенциал взаимодействия  
 $J/\Psi$  и протона в  $\chi QSM$   
 $r$  в ферми  
 $U(r)$  в Мэв

$$\alpha(1S) = 17.5, \quad \alpha_{Coulomb} = 11.6$$

Уровень отвечает тяжелому пентакварку

При  $\alpha(2S) \approx 22.5$  — легкому, но не получить ширину...



# Ширина пентакварка

Правильно решать **двуухканальную задачу**

$$\left[ -\frac{\nabla^2}{2\mu_1} + V_{J/\psi, J/\psi}(r) - E \right] \Psi_1 + V_{\psi' J/\psi}(r) \Psi_2 = 0$$
$$\left[ -\frac{\nabla^2}{2\mu_2} + V_{\psi', \psi'}(r) - E + \Delta \right] \Psi_2 + V_{\psi' J/\psi}(r) \Psi_1 = 0$$

$\Psi_1$  — волновая ф-ция  $J/\Psi + p$ ,  $\Psi_2$  — волновая ф-ция  $\Psi' + p$   
Потенциалы пропорциональны **поляризуемостям**

$$V_{\psi' \psi'}(r) \equiv V(r), \quad V_{J/\psi, J/\psi}(r) = \frac{\alpha_{J/\psi, J/\psi}}{\alpha_{\psi' \psi'}} V(r),$$

$$V_{\psi' J/\psi}(r) = \frac{\alpha_{\psi', J/\psi}}{\alpha_{\psi' \psi'}} V(r)$$

# Ширина пентакварка

Можно решать численно (**полюс** в **комплексной** плоскости в амплитуде  $J/\psi + p$ , а можно по т.в. поскольку  $V_{J/\psi, J/\psi}(r)$  — мал.

$$\Gamma = \left( \frac{\alpha_{\psi' J/\psi}}{\alpha_{\psi' \psi'}} \right)^2 \frac{4\mu_2 P}{(2l+1)} \left| \int d^3 r \chi_R(r) V(r) j_l(Pr) \right|^2$$

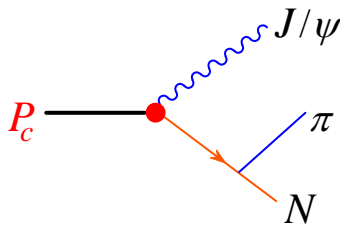
Получаем — уже все фиксировано!!!

$$\Gamma = 13.2 \text{ MeV}$$

Парциальная ширина. А что еще?

# Ширина пентакварка

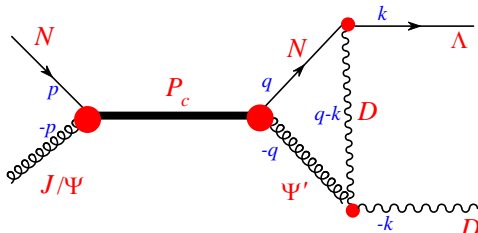
Испускание  $\pi$ -мезона



$$\frac{\Gamma_3}{\Gamma_2} = \frac{g_{\pi NN}^2}{15\pi^2} \frac{\Delta^2}{M_1^2} \frac{1}{1 + \frac{M_1}{2M_{J/\psi}}}$$

Примерно в 40 раз меньше,  
чем основной процесс.

Распад в состояния с **открытым** чармом



В лучшем случае  $\sim 0.1$  MeV

## Сверхтонкое расщепление

Можно сложить спины  $J/\psi$  и протона по-другому и получить  $\frac{1}{2}^-$  состояния. **Сверхтонкое расщепление.** Релятивистская поправка, 1 электрический, 1 магнитный глюон

$$H_E = -\frac{1}{2}(t_1 - t_2), \quad H_M = \frac{1}{4m_c} S_j r_i (D_i B_j)^a$$

Эффективный гамильтониан

$$H_{eff} = \alpha \frac{q_i}{2m_c} < N' | G \tilde{G} | N > \varepsilon_{ijk} \zeta_j \zeta_k$$

( $\zeta$  — поляризация) где  $\alpha$  — та же самая поляризуемость.

$$< N' | G \tilde{G} | N > = \frac{32\pi^2}{12N_f} g_a^{(0)} (\vec{S} \cdot \vec{q})$$

вычисляется до конца. Составляет 10-15 MeV.

# PDG, том второй,....

- Можно связаться с **барионом из таблиц** — все **устроены одинаково**.
- Больше возбужденных состояний чармония, свехтонкое расщепление
- Боттониум — то же самое ?

## Легкий пентакварк. Противоположная четность...

Есть в таблице частица  $\chi_{c2}$ . Масса 3556 Mev, квантовые числа  $2^+$ . Это **2Р** состояние чармония. Она может **связаться** с протоном — дает  $P_c(\frac{5}{2}^+)$  Масса будет 4380 Mev если

$$\alpha \approx 14 \text{ GeV}^{-3}$$

что похоже на правду...

**Откуда такая ширина?** Рядом  $\chi_{c1}$  с массой на 40 Mev меньше...  
Тоже дает связанное состояние, но будет  $P_c[\frac{3}{2}^+]$ , и еще  $h$  тут же с неизвестными квантовыми числами....

А еще сверхтонкое расщепление... Не могут ли все вместе эти резонансы дать картину широкого резонанса при **естественной** ширине  $\sim 15 \text{ MeV}$ ?

